

# ФИЗИКА АТОМНОГО ЯДРА И ЭЛЕМЕНТАРНЫХ ЧАСТИЦ

## ПРОЕКТИРОВАНИЕ ВОЛНОВОЙ ФУНКЦИИ ${}^7\text{Li}\{\alpha t\}$ НА ${}^5\text{He}\{\alpha n\}+d$ КЛАСТЕРНЫЙ КАНАЛ. I ЭЛЕМЕНТЫ ФОРМАЛИЗМА

Н.В. Афанасьева, Н.А. Буркова, К.А. Жаксыбекова

*Казахский национальный университет им. аль-Фараби, НИИЭТФ, Алматы*

В рамках двухтельной  $\alpha t$ -модели ядра  ${}^7\text{Li}$  методом проектирования построены волновые функции относительного движения в канале  ${}^5\text{He}+d$ , получено аналитическое выражение для расчета спектроскопических  $S_d$ -факторов отделения дейтронов.

Вопросы кластерной структуры ядер  $1p$ -оболочки и её проявления в ядерных реакциях неизменно привлекают внимание исследователей. Это связано с тем, что кластерная форма самоорганизации лёгких ядер, видимо, является одной из фундаментальных форм их существования.

В настоящее время накоплен большой материал по изучению кластерной структуры ядра  ${}^7\text{Li}$ . Так, в методе резонирующих групп (МРГ) имеются детальные исследования этого ядра как семи-нуклонной системы с использованием самых различных нуклон-нуклонных потенциалов  $V_{NN}$ , включая даже самые сложные многопараметрические [1–4]. Функции МРГ строились в значительной мере с определенной целью описать ядерные реакции радиационного  $\alpha t$ -захвата на этом ядре при низких энергиях, играющих фундаментальную роль в астрофизических процессах.

В то же время практически параллельно с МРГ были разработаны простые бинарные модели описания ядра  ${}^7\text{Li}$  в  $\alpha t$ -представлении. Что примечательно, на основе глубоких притягивающих кластер-кластерных потенциалов с запрещенными состояниями (ПЗС) удается воспроизвести практически все статические характеристики (энергия связи, зарядовый и магнитный радиусы, квадрупольный момент и т.д.) этого ядра [5]. При этом точность воспроизведения экспериментальных данных не уступает МРГ. Более того, в рамках кластерной модели ПЗС прекрасно воспроизводятся экспериментальные данные по фотоядерным реакциям  ${}^7\text{Li}\gamma \rightarrow t\alpha$  как с неполяризованными, так и с линейно поляризованными фотонами в широком диапазоне энергий [6].

Хорошо известно, что в рамках кластерного подхода к описанию легких ядер различные кластерные конфигурации, из которых можно сконструировать волновую функцию (ВФ) исходного ядра, вообще говоря, не ортогональны друг другу. В этом смысле нельзя утверждать, что ядро  ${}^7\text{Li}$ , например, состоит из  $\alpha$ - и  $t$ -кластеров или конфигураций  ${}^6\text{Li}+n$ ,  ${}^6\text{He}+p$  и т.д. в чистом виде, но представляет собой динамическую систему, отдельные компоненты которой могут проявляться с наибольшей вероятностью в каждом конкретном канале фрагментации.

В настоящей работе нам представляется интересным выявить  ${}^5\text{He}+d$ -компоненту в  $\alpha t$ -функции ядра  ${}^7\text{Li}$ . Для этого необходимо построить волновую функцию относительного движения в канале  ${}^5\text{He}+d$  и рассчитать соответствующие спектроскопические  $S_d$ -факторы отделения дейтронов.

Таким образом, в данной работе представлены элементы формализма по построению волновых функций относительного движения в канале  ${}^5\text{He}+d$  методом проектирования.

Для того чтобы получить функции относительного движения ядра  ${}^5\text{He}$  и  $d$ , необходимо построить интеграл перекрытия:

$$\langle \Phi_{^5\text{He}}, \Phi_d | \Phi_{^7\text{Li}} \rangle. \quad (1)$$

Набор относительных координат Якоби для данного случая представлен на рисунке 1.

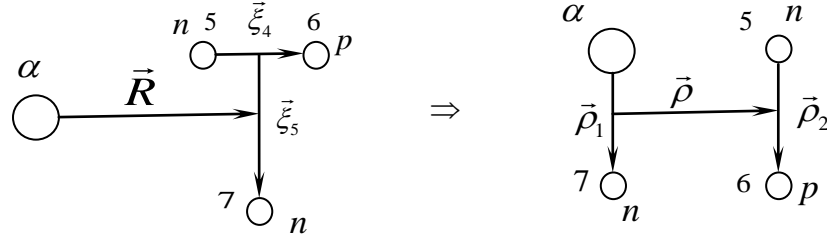


Рис. 1. Относительные координаты Якоби для канала  $^7\text{Li} \rightarrow ^5\text{He} + d$

Преобразования относительных координат Якоби при переходе от системы  $^7\text{Li}\{\alpha t\}$  к системе  $^5\text{He}\{\alpha n\} + d$  имеют вид:

$$\begin{cases} \vec{R}_\alpha = -\frac{3}{7}\vec{R} + \vec{R}_{cm}, \\ \vec{r}_5 = \frac{4}{7}\vec{R} + \vec{R}_{cm} - \frac{1}{2}\vec{\xi}_4 - \frac{1}{3}\vec{\xi}_5, \\ \vec{r}_6 = \frac{4}{7}\vec{R} + \vec{R}_{cm} + \frac{1}{2}\vec{\xi}_4 - \frac{1}{3}\vec{\xi}_5, \\ \vec{r}_7 = \frac{4}{7}\vec{R} + \vec{R}_{cm} + \frac{2}{3}\vec{\xi}_5. \end{cases} \Rightarrow \begin{cases} \vec{\rho} = \frac{4}{5}\vec{R} - \frac{7}{15}\vec{\xi}_5, \\ \vec{\rho}_1 = \vec{R} + \frac{2}{3}\vec{\xi}_5, \\ \vec{\rho}_2 = \vec{\xi}_4, \\ \vec{R}_{cm} = \vec{R}_{cm}, \end{cases} \quad (2)$$

где  $\vec{r}_i$  – собственные координаты нуклонов, входящих в  $^7\text{Li}$ ,  $\vec{\xi}_4, \vec{\xi}_5$  – относительные координаты трития,  $\vec{R}$  – координата относительного движения  $\alpha$  и  $t$  кластеров,  $\vec{R}_{cm}$  – относительная координата центра масс системы нуклонов.

Для построения ВФ относительного движения в канале  $^5\text{He} + d$  необходимы также обратные преобразования координат  $\{\vec{\rho}, \vec{\rho}_1, \vec{\rho}_2\} \Rightarrow \{\vec{R}, \vec{\xi}_4, \vec{\xi}_5\}$ :

$$\begin{cases} \vec{R} = \frac{2}{3}\vec{\rho} + \frac{7}{15}\vec{\rho}_1, \\ \vec{\xi}_4 = \vec{\rho}_2, \\ \vec{\xi}_5 = -\vec{\rho} + \frac{4}{5}\vec{\rho}_1. \end{cases} \quad (3)$$

Далее определим волновые функции ядер  $^7\text{Li}$ ,  $^5\text{He}$ ,  $d$ ,  $t$ . ВФ ядра  $^7\text{Li}\{\alpha t\}$  формально можно записать в следующем виде:

$$\begin{aligned} \Phi_{^7\text{Li}} = \Phi_{000}^\alpha(1, 2, 3, 4) \chi_{S_\alpha M_\alpha S_\alpha T_\alpha M_\alpha}^{00,00} \Phi_{000}^t(5, 6, 7) \sum_{M, m_t} \chi_{\frac{1}{2}m_t}^{(\sigma)}(5, 6, 7) \chi_{\frac{1}{2}, -\frac{1}{2}}^{(\tau)}(5, 6, 7) \times \\ \times Y_{1M}(\vec{R}) \sum_{\kappa} A_\kappa e^{-\gamma_\kappa \vec{R}^2} C_{1M \frac{1}{2}m_t}^{3/2 M_i}. \end{aligned} \quad (4)$$

где  $\Phi_{000}^\alpha(1,2,3,4)$ ,  $\Phi_{000}^t(5,6,7)$  – внутренние функции  $\alpha$ -частицы и трития соответственно,  $\chi_{S_d M_{S_d} T_\alpha M_{T_\alpha}}^{00,00}$  – спин-изоспиновая функция  $\alpha$ -частицы,  $\chi_{\frac{1}{2} m_n}^{(\sigma)}(5,6,7)$ ,  $\chi_{\frac{1}{2}, -\frac{1}{2}}^{(\tau)}(5,6,7)$  – спиновая и изоспиновая функции трития.

Волновую функцию ядра  ${}^5\text{He}\{\alpha n\}$  с полным моментом  $j$  и проекцией  $m_j$  можно представить в виде:

$$\begin{aligned} \Phi_{{}^5\text{He}} = & \Phi_{000}^\alpha(1,2,3,4) \chi^S(\alpha) \chi^T(\alpha) \sum_{M_L, m_n} (1M_L 1/2 m_n | j m_j) \times \\ & \times \chi_{\frac{1}{2} m_n}^{(\sigma)}(7) \chi_{\frac{1}{2}, -\frac{1}{2}}^{(\tau)}(7) Y_{1M_L}(\vec{\rho}_1) \sum_j C_j e^{-\alpha_j \vec{\rho}_1^2}. \end{aligned} \quad (5)$$

Состояние дейтрона описывается следующим образом:

$$\Phi_{J_d M_d} = \sum_{\substack{S_d M_{S_d}, \\ L_d M_{L_d}}} C_{S_d M_{S_d} L_d M_{L_d}}^{J_d M_d} \chi_{T_d M_{T_d}}(5,6) \chi_{S_d M_{S_d}}(5,6) \sum_i G_i e^{-\beta_i \vec{x}^2} \rho_2^{L_d} Y_{L_d M_{L_d}}(\Omega_{\rho_2}), \quad (6)$$

где  $J_d$ ,  $M_d$  – полный угловой момент дейтрона и его проекция соответственно.

Для описания трития используется симметричная функция вида:

$$\Phi_t(\xi_4, \xi_5) = \sum_m B_m e^{-\delta_m \vec{\xi}_4^2} Y_{00}(\Omega_4) \sum_n D_n e^{-\omega_n \vec{\xi}_5^2} Y_{00}(\Omega_5). \quad (7)$$

Как уже отмечалось ранее, для проектирования ВФ  ${}^7\text{Li}\{\alpha t\}$  на канал  ${}^5\text{He}\{\alpha n\} + d$  необходимо вычислить интеграл (1). При этом интегрирование по переменным  $\vec{\rho}_1$  и  $\vec{\rho}_2$  приводит к соответствующей функции относительного движения  ${}^5\text{He} + d$  по переменной  $\vec{\rho}$ . Так как  $\vec{\xi}_4 = \vec{\rho}_2$  (3), то интегрирование по  $\vec{\rho}_2$  снимается сразу:

$$\int_0^\infty e^{-\beta_i \vec{\rho}_2^2} \cdot e^{-\delta_m \vec{\rho}_2^2} \rho_2^{2+L_d} d\rho_2 \int Y_{00}^*(\Omega_{\rho_2}) \cdot Y_{L_d M_d}(\Omega_{\rho_2}) d\Omega_{\rho_2} = \delta_{L_d 0} \delta_{M_d 0} \frac{\sqrt{\pi}}{4(\beta_i + \delta_m)^{3/2}}. \quad (8)$$

Тогда для интеграла (1), который определяет функцию относительного движения  ${}^5\text{He} + d$ , имеем следующий промежуточный результат:

$$\begin{aligned} \Phi(\vec{\rho}) = \langle \Phi_{{}^5\text{He}}, \Phi_d | \Phi_{{}^7\text{Li}} \rangle = & \sum_{i,j,k,m,n} G_i C_j A_k B_m D_n \frac{\sqrt{\pi}}{4(\beta_i + \delta_m)^{3/2}} \cdot M^{(\sigma)} M^{(\tau)} Y_{00}(\Omega_5) \times \\ & \times \sum_{\substack{M_L, M, m_i, m_n \\ S_d M_{S_d}, L_d M_{S_d}}} C_{1M_L 1/2 m_n}^{j m_j} C_{1M 1/2 m_i}^{3/2 M_i} C_{S_d M_{S_d} L_d M_{L_d}}^{J_d M_d} \times \\ & \times \int \exp(-\gamma_k \vec{R}^2 - \alpha_j \vec{\rho}_1^2 - \omega_n \vec{\xi}_5^2) \cdot \rho_1 Y_{1M_L}^*(\Omega_{\rho_1}) \cdot R Y_{1M}(\Omega_R) d\vec{\rho}_1, \end{aligned} \quad (9)$$

где  $M^{(\sigma)}$  и  $M^{(\tau)}$  – спиновый и изоспиновый матричные элементы (МЭ) соответственно.

Для вычисления радиального интеграла в выражении (9) проводим координатные

преобразования согласно (3). В результате имеем следующий вид для квадратичной формы в показателе экспоненты:

$$a_1 \bar{\rho}^2 + a_2 \bar{\rho} \bar{\rho}_1 + a_3 \bar{\rho}_1^2, \quad (10)$$

$$\text{где } a_1 = \frac{4}{9} \gamma_\kappa + \omega_n; \quad a_2 = \frac{28}{45} \gamma_\kappa - \frac{8}{5} \omega_n; \quad a_3 = \frac{49}{225} \gamma_\kappa + \alpha_j + \frac{16}{25} \omega_n.$$

После этого заменой переменных:

$$\begin{cases} \bar{\rho}_1 = \bar{x}_1 + \alpha \bar{\rho} \\ \bar{\rho} = \bar{\rho}. \end{cases} \quad (11)$$

квадратичная форма (10) приводится к диагональному виду  $d_1 \bar{\rho}^2 + d_2 \bar{x}_1^2$ , где коэффициенты  $d_i$  определены следующим образом:

$$d_1 = a_1 + a_2 \alpha + a_3 \alpha^2; \quad d_2 = a_3; \quad \alpha = -a_2 / (2a_3). \quad (12)$$

В соответствии с (11) преобразуем аргументы векторных сферических функций, входящих в интеграл (9). В итоге получаем:

$$\bar{\rho}_1 = \bar{x}_1 + \alpha \bar{\rho}; \quad \bar{R} = f_1 \bar{x}_1 + f_2 \bar{\rho}, \quad (13)$$

$$\text{где } f_1 = \frac{7}{15}, \quad f_2 = \frac{2}{3} + \frac{7}{15} \alpha.$$

Таким образом, интеграл в выражении (9) сводится к следующему виду:

$$I(\bar{\rho}) = e^{-d_1 \bar{\rho}^2} \int e^{-d_2 \bar{x}_1^2} \left( Y_{1M_L}^* (\bar{x}_1) + \alpha Y_{1M_L}^* (\bar{\rho}) \right) \cdot \left( f_1 Y_{1M} (\bar{x}_1) + f_2 Y_{1M} (\bar{\rho}) \right) d\bar{x}_1. \quad (14)$$

Как видно, из выражения (14) получается два типа интегралов:

$$I_1(\bar{\rho}) = e^{-d_1 \bar{\rho}^2} \int \alpha f_2 e^{-d_2 \bar{x}_1^2} Y_{1M_L}^* (\bar{\rho}) Y_{1M} (\bar{\rho}) d\bar{x}_1, \quad (15)$$

$$I_2(\bar{\rho}) = e^{-d_1 \bar{\rho}^2} \int f_1 e^{-d_2 \bar{x}_1^2} Y_{1M_L}^* (\bar{x}_1) Y_{1M} (\bar{x}_1) d\bar{x}_1. \quad (16)$$

Для вычисления интеграла (15) необходимо сначала преобразовать произведение векторных сферических функций:

$$Y_{1M_L}^* (\Omega_\rho) Y_{1M} (\Omega_\rho) = \sum_{\kappa m_\kappa} \sqrt{\frac{9}{4\pi(2\kappa+1)}} (-1)^{M_L} (1 - M_L 1M | \kappa m_\kappa) (1010 | \kappa 0) Y_{\kappa m_\kappa} (\Omega_\rho), \quad (17)$$

где  $\kappa$  – орбитальный момент относительного движения ядра  ${}^5\text{He}$  и  $d$ .

Таким образом, принимая во внимание (17), получаем:

$$I_1(\bar{\rho}) = \frac{\sqrt{3\pi\alpha} f_2}{2d_2^{3/2}} e^{-d_1 \bar{\rho}^2} \rho^2 \cdot (-1) \cdot \sum_{\kappa m_\kappa} C_{\kappa m_\kappa 1M}^{1M_L} C_{1010}^{\kappa 0} Y_{\kappa m_\kappa}^* (\Omega_\rho). \quad (18)$$

Интеграл (16) вычисляется аналогичным образом:

$$I_2(\vec{\rho}) = \frac{3\sqrt{3}\pi f_1}{4d_2^{5/2}} \cdot e^{-d_1\vec{\rho}^2} \cdot (-1) \cdot \sum_{km_k} C_{km_k 1M}^{1M_L} C_{1010}^{k0} Y_{km_k}^*(\Omega_\rho). \quad (19)$$

Вычислим далее спиновый и изоспиновый матричные элементы  $M^{(\sigma)}$  и  $M^{(\tau)}$ . Спиновый МЭ:

$$M^{(\sigma)} = \langle f | i \rangle = \left\langle \chi_{\frac{1}{2}m_n}(7), \chi_{1M_{S_d}}(5,6) | \chi_{\frac{1}{2}m_t}(5,6,7) \right\rangle = \delta_{m_n m_t} \delta_{M_{S_d} M'_{S_d}} (1/2 m_n 1 M_{S_d} | 1/2 m_t). \quad (20)$$

Изоспиновый МЭ:

$$M^{(\tau)} = \left\langle \chi_{\frac{1}{2}, \frac{1}{2}}(7) \chi_{T_d M_{T_d}}(5,6) | \chi_{\frac{1}{2}, \frac{1}{2}}(5,6,7) \right\rangle \equiv 1. \quad (21)$$

Используем далее определение спина канала  ${}^5\text{He}\{an\}+d$ :  $\vec{s}_c = \vec{j} + \vec{S}_d$ . Учитывая преобразования (10)–(21), получаем итоговое выражение для функции относительного движения  ${}^5\text{He}\{an\}+d$ :

$$\Psi_\kappa(\vec{\rho}) = \sum_{i,j,k,m,n} G_i C_j A_k B_m D_n \frac{1}{4(\beta_i + \delta_m)^{3/2}} \sum_{\substack{s_c m_c, \\ km_k}} Y_{km_k}^*(\Omega_\rho) \sqrt{6(2j+1)} \cdot I_\kappa(\rho) \left\{ \begin{matrix} 1/2 & 1 & 1/2 \\ s_c & 1 & j \end{matrix} \right\} \times \\ \times \left\{ \begin{matrix} 1 & 1/2 & 3/2 \\ s_c & k & 1 \end{matrix} \right\} (3/2 M_i km_k | s_c m_c) (1 M_{S_d} j m_j | s_c m_c) (1010 | \kappa 0), \quad (22)$$

где интеграл  $I_\kappa(\rho)$  при  $\kappa=0$  ( $S$ -компонента) имеет вид:

$$I_S(\rho) = \frac{\sqrt{3}\pi\alpha f_2}{2d_2^{3/2}} e^{-d_1\vec{\rho}^2} \rho^2 + \frac{3\sqrt{3}\pi f_1}{4d_2^{5/2}} \cdot e^{-d_1\vec{\rho}^2}; \quad (23)$$

а при  $\kappa=2$  ( $D$ -компонента):

$$I_D(\rho) = \frac{\sqrt{3}\pi\alpha f_2}{2d_2^{3/2}} e^{-d_1\vec{\rho}^2} \rho^2. \quad (24)$$

Используя выражение (22) для ВФ относительного движения, можно получить выражение для расчета спектроскопических  $S$ -факторов:

$$S = \int |\Psi(\vec{\rho})|^2 d\vec{\rho} \quad (25)$$

или окончательно:

$$S = (2s_c + 1) \int \left| \sum_{i,j,k,m,n} G_i C_i A_k B_m D_n \frac{1}{4(\beta_i + \delta_m)^{3/2}} \cdot \sqrt{6(2j+1)} \cdot I_\kappa(\rho) \times \right. \\ \left. \times (1010 | \kappa 0) \left\{ \begin{matrix} 1/2 & 1 & 1/2 \\ s_c & 1 & j \end{matrix} \right\} \left\{ \begin{matrix} 1 & 1/2 & 3/2 \\ s_c & \kappa & 1 \end{matrix} \right\} \right|^2 \rho^2 d\rho. \quad (26)$$

Полученные в настоящей работе формулы для волновой функции относительного  ${}^5\text{He} + d$ -движения (22) и спектроскопических  $S$ -факторов (26) в дальнейшем будут применяться для непосредственного расчета спектроскопических  $S_d$ -факторов отделения дейтронов в канале  ${}^5\text{He} + d$ .

### Литература

1. Kaneko T. et al. Microscopic theory of the  ${}^3\text{H} + \alpha$  system with the multi channel resonating group method // Phys. Rev. C. 1986. V. 34, №3. P. 771-779.
2. Fujiwara Y., Tang Y.C. Multiconfiguration resonating group theory of the seven-nucleon system with realistic cluster wave functions // Phys. Rev. C. 1985. V. 31, №2. P. 324-359.
3. Kruppa A.T., Lovas R.G. et al. Breathing cluster model for nuclei of two s-wave clusters // Phys. Lett. B. 1986. V. 179, №4. P.317-321.
4. Walliser H., Fliesbach T. Clustering picture of  ${}^7\text{Li}$  // Phys. Rev. C. 1985. V. 31, №6. P. 2242-2249.
5. Дубовиченко С.Б. Свойства легких атомных ядер в потенциальной кластерной модели. – Алматы: Данекер, 2004. 247 с.
6. Burkova N.A., Denyak V.V., Eramzhyan R.A., Zhusupov M.A. et. al. Two-cluster disintegration of  ${}^6\text{Li}$  and  ${}^7\text{Li}$  nuclei by linearly polarized photons // Nucl. Phys. A. 1995. V. 586. P. 293-315.

### ${}^5\text{He}\{an\} + d$ КЛАСТЕРЛІ КАНАЛЫНА ${}^7\text{Li}\{at\}$ ТОЛҚЫНДЫҚ ФУНКЦИЯСЫН ЖОБАЛАУ. І ФОРМАЛИЗМ ЭЛЕМЕНТТЕРІ

Н.В. Афанасьева, Н.А. Буркова, К.А. Жақсыбекова

${}^7\text{Li}$  ядросының  $at$  жобасы негізінде  ${}^5\text{He} + d$  салыстырмалы қозғалысының радиалды толқындық функциялары проектилеу тәсілімен құрылды, спектроскопиялық  $S_d$ -факторларын есептеу үшін аналитикалық формуласы құрылды.

### PROJECTION OF THE ${}^7\text{Li}\{at\}$ WAVE FUNCTION ON THE ${}^5\text{He}\{an\} + d$ CLUSTER CHANNEL. I ELEMENTS OF THE FORMALISM

N.V. Afanasyeva, N.A. Burkova, K.A. Zhaksybekova

Within the  $at$ -model for  ${}^7\text{Li}$  nucleus  ${}^5\text{He} + d$  relative motion wave functions have been built by using the projecting method, also the analytical expression for spectroscopic  $S_d$ -factors of deuterons separation has been obtained.